

Starkniederschlagshöhen und -spenden gemäß KOSTRA-DWD-2010R

Auswertungszeitraum von 1951 - 2010, Januar - Dezember

Rasterfeld: 19019

Zeile: 19

Spalte: 19

Seite: 1/2

| Dauerstufe D | | Wiederkehrzeit T | | | | | | | | | | | | | | | | | |
|--------------|-----|------------------|------------|------|------------|------|------------|------|------------|------|------------|------|------------|------|------------|------|------------|-------|------------|
| | | 1 a | | 2 a | | 3 a | | 5 a | | 10 a | | 20 a | | 30 a | | 50 a | | 100 a | |
| min | Std | mm | l / (s ha) | mm | l / (s ha) | mm | l / (s ha) | mm | l / (s ha) | mm | l / (s ha) | mm | l / (s ha) | mm | l / (s ha) | mm | l / (s ha) | mm | l / (s ha) |
| 5 | | 4,6 | 153,3 | 5,9 | 196,7 | 6,7 | 223,3 | 7,7 | 256,7 | 9,1 | 303,3 | 10,5 | 350,0 | 11,3 | 376,7 | 12,3 | 410,0 | 13,6 | 453,3 |
| 10 | | 7,2 | 120,0 | 9,1 | 151,7 | 10,2 | 170,0 | 11,6 | 193,3 | 13,5 | 225,0 | 15,4 | 256,7 | 16,6 | 276,7 | 18,0 | 300,0 | 19,9 | 331,7 |
| 15 | | 9,0 | 100,0 | 11,3 | 125,6 | 12,6 | 140,0 | 14,3 | 158,9 | 16,7 | 185,6 | 19,0 | 211,1 | 20,3 | 225,6 | 22,0 | 244,4 | 24,3 | 270,0 |
| 20 | | 10,3 | 85,8 | 12,9 | 107,5 | 14,4 | 120,0 | 16,4 | 136,7 | 19,0 | 158,3 | 21,7 | 180,8 | 23,2 | 193,3 | 25,1 | 209,2 | 27,8 | 231,7 |
| 30 | | 11,9 | 66,1 | 15,1 | 83,9 | 17,0 | 94,4 | 19,3 | 107,2 | 22,5 | 125,0 | 25,7 | 142,8 | 27,6 | 153,3 | 30,0 | 166,7 | 33,2 | 184,4 |
| 45 | | 13,3 | 49,3 | 17,2 | 63,7 | 19,5 | 72,2 | 22,3 | 82,6 | 26,2 | 97,0 | 30,1 | 111,5 | 32,4 | 120,0 | 35,2 | 130,4 | 39,1 | 144,8 |
| 60 | | 14,2 | 39,4 | 18,6 | 51,7 | 21,2 | 58,9 | 24,5 | 68,1 | 29,0 | 80,6 | 33,4 | 92,8 | 36,0 | 100,0 | 39,3 | 109,2 | 43,7 | 121,4 |
| 90 | | 15,6 | 28,9 | 20,3 | 37,6 | 23,0 | 42,6 | 26,5 | 49,1 | 31,1 | 57,6 | 35,8 | 66,3 | 38,6 | 71,5 | 42,0 | 77,8 | 46,7 | 86,5 |
| 120 | 2 | 16,7 | 23,2 | 21,6 | 30,0 | 24,4 | 33,9 | 28,0 | 38,9 | 32,8 | 45,6 | 37,7 | 52,4 | 40,5 | 56,3 | 44,1 | 61,3 | 48,9 | 67,9 |
| 180 | 3 | 18,4 | 17,0 | 23,5 | 21,8 | 26,5 | 24,5 | 30,2 | 28,0 | 35,3 | 32,7 | 40,4 | 37,4 | 43,4 | 40,2 | 47,2 | 43,7 | 52,3 | 48,4 |
| 240 | 4 | 19,6 | 13,6 | 24,9 | 17,3 | 28,0 | 19,4 | 31,9 | 22,2 | 37,2 | 25,8 | 42,5 | 29,5 | 45,6 | 31,7 | 49,5 | 34,4 | 54,8 | 38,1 |
| 360 | 6 | 21,6 | 10,0 | 27,2 | 12,6 | 30,4 | 14,1 | 34,6 | 16,0 | 40,1 | 18,6 | 45,7 | 21,2 | 49,0 | 22,7 | 53,1 | 24,6 | 58,7 | 27,2 |
| 540 | 9 | 23,8 | 7,3 | 29,6 | 9,1 | 33,1 | 10,2 | 37,4 | 11,5 | 43,3 | 13,4 | 49,1 | 15,2 | 52,6 | 16,2 | 56,9 | 17,6 | 62,8 | 19,4 |
| 720 | 12 | 25,4 | 5,9 | 31,5 | 7,3 | 35,1 | 8,1 | 39,6 | 9,2 | 45,7 | 10,6 | 51,7 | 12,0 | 55,3 | 12,8 | 59,8 | 13,8 | 65,9 | 15,3 |
| 1080 | 18 | 28,0 | 4,3 | 34,4 | 5,3 | 38,1 | 5,9 | 42,8 | 6,6 | 49,3 | 7,6 | 55,7 | 8,6 | 59,4 | 9,2 | 64,1 | 9,9 | 70,6 | 10,9 |
| 1440 | 24 | 29,9 | 3,5 | 36,6 | 4,2 | 40,4 | 4,7 | 45,3 | 5,2 | 52,0 | 6,0 | 58,7 | 6,8 | 62,5 | 7,2 | 67,4 | 7,8 | 74,1 | 8,6 |
| 2880 | 48 | 38,9 | 2,3 | 47,0 | 2,7 | 51,8 | 3,0 | 57,8 | 3,3 | 65,9 | 3,8 | 74,0 | 4,3 | 78,7 | 4,6 | 84,7 | 4,9 | 92,8 | 5,4 |
| 4320 | 72 | 45,4 | 1,8 | 54,4 | 2,1 | 59,6 | 2,3 | 66,2 | 2,6 | 75,2 | 2,9 | 84,2 | 3,2 | 89,4 | 3,4 | 96,0 | 3,7 | 105,0 | 4,1 |

Angaben in mm: Bemessungsniederschlagswerte h(n)

Angaben in l / (s ha): Regenspende R(n) mit $R(n) = h(n) \times 1,666667 / D[\text{min}]$

Toleranzbereiche:

+/- 10 % für $1 \text{ a} \leq T \leq 5 \text{ a}$

+/- 15 % für $5 \text{ a} < T \leq 50 \text{ a}$

+/- 20 % für $50 \text{ a} < T \leq 100 \text{ a}$

Datenbasis: KOSTRA-DWD-2010R des Deutschen Wetterdienstes. Die Regenspende wurde auf Basis des Bemessungsniederschlags zur jeweiligen Andauer berechnet.

Für die Richtigkeit und Aktualität der Angaben wird keine Gewähr übernommen. Erstellt 07/2022.

Starkniederschlagshöhen und -spenden gemäß KOSTRA-DWD-2010R

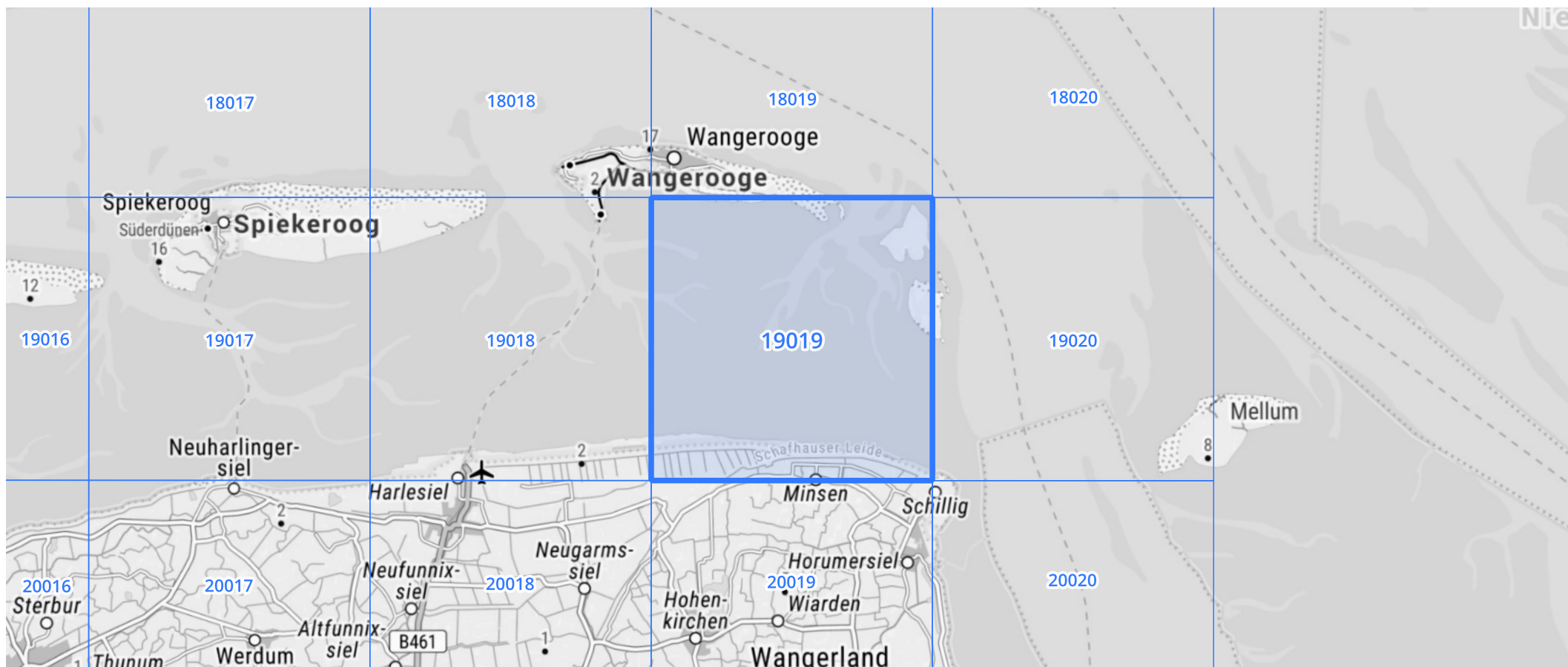
Auswertungszeitraum von 1951 - 2010, Januar - Dezember

Rasterfeld: 19019

Zeile: 19

Spalte: 19

Seite: 2/2



Quelle Rasterdaten: KOSTRA-DWD-2010R des Deutschen Wetterdienstes.

Kartendarstellung: © Bundesamt für Kartographie und Geodäsie (2022), Datenquellen: https://sgx.geodatenzentrum.de/web_public/gdz/datenquellen/Datenquellen_TopPlusOpen.html

Für die Richtigkeit und Aktualität der Angaben wird keine Gewähr übernommen. Erstellt 07/2022.